

พฤติกรรมของอาคารเรียนรวมคณะเทคโนโลยีอุตสาหกรรม มหาวิทยาลัยราชภัฏอุตรดิตถ์ภายใต้แรงแผ่นดินไหว

Behavior of Industrial Technology Faculty Building in
Uttaradit Rajabhat University Under Earthquake Load

อรุณเดช บุญสูง¹ และ สิบรินทร์ ดอกเกี้ยง²

บทคัดย่อ

งานวิจัยนี้เป็นการศึกษาพฤติกรรมของอาคารภายใต้แรงแผ่นดินไหว โดยมุ่งเน้นศึกษาการเปลี่ยนแปลงแรงภายใน และการเสียรูปของโครงสร้างอาคาร โดยการคำนวณแรงแผ่นดินไหวเป็นไปตามมาตรฐาน UBC (Uniform Building Code) ซึ่งเป็นแรงกระทำแบบสถิตเทียบเท่า และกำหนดทิศทางของแรงที่กระทำต่ออาคาร ใน 2 ลักษณะคือ แรงกระทำทางด้านสัมม์และด้านขวางของตัวอาคาร จากผลการศึกษาพบว่าเมื่อแรงแผ่นดินไหวกระทำทางด้านขวางของอาคารจะทำให้ค่าโมเมนต์ดัด แรงเฉือนในคาน แรงตามแนวแกน โมเมนต์ดัดในเสา และ หน่วยแรงในแผ่นพื้น มีค่ามากกว่ากรณีอื่นๆ ซึ่งมีค่าเท่ากับ 1,227 kN-m, 1,715 kN, 2,390 kN, 129 kN-m และ 25 Mpa ตามลำดับ และการเคลื่อนตัวของโครงสร้างเกิดสูงสุดในกรณีที่มีแรงกระทำทางด้านขวางของตัวอาคารเข่นกัน

คำสำคัญ แผ่นดินไหว, การเสียรูป, การวิเคราะห์โครงสร้าง, โมเมนต์ดัด

ABSTRACT

An objective of this research is to study behavior of building of Faculty of Industrial Technology, Uttaradit Rajabhat University under earthquake load focusing on changing of internal force and structural deformation. This research assigned the earthquake load by using Uniform Building Code, UBC, which is equivalent static force loaded on 2 directions of forces, a short side and a long side of building. The study found that when loading the earthquake load on the long side of building, a bending moment in a beam is 1,227 kN-m, a shearing force in a beam is 1,715 kN, an axial force is 2,390 kN, a bending moment in a column is 129 kN-m, and a stress in a slab is 25 Mpa. Maximum displacement of the structure was shown when assigned the earthquake load on the long side of building.

Key word : Earthquake, Deformation, Structural Analysis, Bending Moment

*¹ ภาควิชาวิศวกรรมโยธา คณะเทคโนโลยีอุตสาหกรรม มหาวิทยาลัยราชภัฏอุตรดิตถ์

² นักศึกษาหลักสูตรบริหารงานก่อสร้าง คณะเทคโนโลยีอุตสาหกรรม มหาวิทยาลัยราชภัฏอุตรดิตถ์

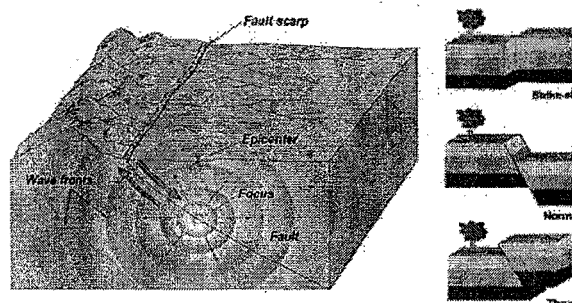
ບັນຫາ

มหาวิทยาลัยราชภัฏอุตรดิตถ์ตั้งอยู่บนพื้นที่ขนาด 190 ไร่ 1 งาน 79 ตารางวา ซึ่งติดกับแม่น้ำทิศเหนือ ทิศใต้ทิศตะวันออก และทิศตะวันตก ล้วนถูกจำกัดพื้นที่ด้วยส่วนราชการข้างเคียง ด้วยลักษณะตั้งกล่าวการขยายพื้นที่ก่อสร้างสำหรับอาคารเรียนหรืออาคารสำนักงานต่างๆ จึงเป็นเรื่องที่ค่อนข้างลำบากแนวโน้มของอาคารที่จะก่อสร้างขึ้นใหม่จึงมีรูปลักษณะเป็นแบบอาคารหลาຍชั้น กฎกระทรวงฉบับที่ 49 พ.ศ. 2540) ออกตามความในพระราชบัญญัติควบคุมอาคาร พ.ศ. 2522 "ได้กำหนดให้จังหวัดทางภาคตะวันตกและภาคเหนือต้อนรับของประเทศไทย โดยสิ้นสุดที่จังหวัดแพร่และน่านนี้จำเป็นต้องออกแบบอาคารให้สามารถด้านหน้าต่อแรงเนื้องจากแผ่นดินไหวได้ แม้ว่าจังหวัดอุตรดิตถ์จะไม่ถูกกำหนดให้อยู่ในพื้นที่เสี่ยงภัยต่อแผ่นดินไหวตามกฎกระทรวง

งานวิจัยนี้มีแนวความคิดที่จะศึกษาพฤติกรรมของอาคารเรียนรวม คณะเทคโนโลยีอุตสาหกรรม มหาวิทยาลัยราชภัฏอุตรดิตถ์ ภายใต้แรงกดดันด้าน ไฟฟ้า เพื่อให้เกิดความเข้าใจในพฤติกรรมการเปลี่ยนแปลงของหน่วยแรงและ การเสียรูปของโครงสร้าง ประกอบกับเป็นการช่วยเฝ้าระวังอันตรายที่อาจเกิดขึ้นในการณ์ ที่มีอาคารอยู่ในความเสี่ยงต่อแรงดึงกล่าว และใช้เป็นแนวทางสำหรับการวางแผน การออกแบบก่อสร้าง อาคารสูงภายในมหาวิทยาลัยในอนาคตต่อไป

การกำเนิดแผ่นดินไหว

แผ่นดิน ไหวเป็นปรากฏการณ์ธรรมชาติ เกิดจากการเคลื่อนตัวโดยจับพลันของแผ่นเปลือกโลก ในทิศทางต่าง ๆ กัน โดยบริเวณขอบของแผ่นเปลือกโลกเป็นส่วนที่เสียดสีกันหรือแยกจากกัน หากบริเวณขอบของแผ่นเปลือกโลกใด ๆ อยู่ใกล้กับประเทศไทยประเทคนี้ ก็จะมีความเสี่ยงต่อภัยแผ่นดินไหวสูง เช่น ประเทศไทยเป็น ประเทศไทยปีปัน ประเทศไทยนิวไฮแลนด์ เป็นต้น



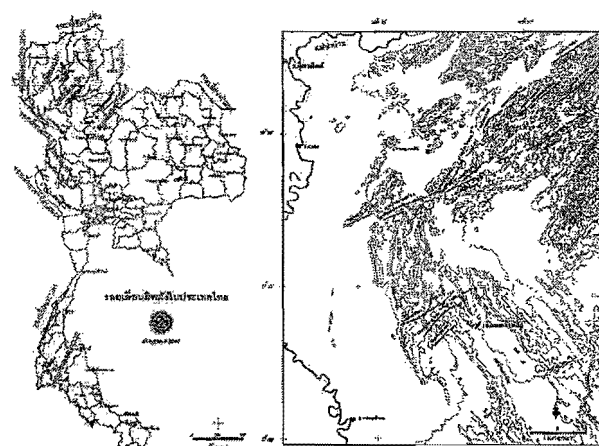
รูปที่ 1 ลักษณะการเคลื่อนตัวของแผ่นเปลือกโลก (กรมทรัพยากรชีวภาพ)

นอกจากนั้นพลังที่สะสมในเปลือกโลก ถูกส่งผ่านไปยังเปลือกโลกพื้นของทวีป ระบบวิเวณอย่างร้าว ของหินได้พื้นโลกหรือที่เรียกว่า “รอยเลื่อน” เมื่อร่องนาบอยร้าวที่ประกบกันอยู่ได้รับแรงอัดมาก ๆ ก็จะทำให้รอยเลื่อนมีการเคลื่อนตัวอย่างฉับพลันเกิดเป็นแผ่นดินไหว เช่นเดียวกัน ประเทศไทยได้รับผลของการเกิดแผ่นดินไหวจากแนวแผ่นเปลือกโลกที่อยู่ในมหาสมุทรอินเดีย เกาะสุมาตรา และ ประเทศพม่า



รูปที่ 2 แนวแผ่นดินไหวโลกบริเวณขอบของเปลือกโลก

รอยเลื่อน (Fault) ภายในประเทศไทยล้วนใหญ่อยู่ในภาคเหนือและภาคตะวันตก ซึ่งเป็นรอยเลื่อนที่มีพลังทึบสืบได้แก่ รอยเลื่อนเชียงแสน รอยเลื่อนแม่จัน รอยเลื่อนแพร่ รอยเลื่อนแม่ฟ้า รอยเลื่อนเดิน รอยเลื่อนเมย-อุทัยธานี รอยเลื่อนเจดีย์สามองค์ รอยเลื่อนครีสวัสดิ์ รอยเลื่อนระนอง รอยเลื่อนคลองมะลุ่ย



รูปที่ 3 รอยเลื่อน(Active Fault)มีพลังในประเทศไทย รูปที่ 4 กลุ่มรอยเลื่อนอุตรดิตถ์ที่มีแนวโน้มการเคลื่อนตัว
(กรมทรัพยากรธรรมชาติ)

สุวิทย์ โภสุวรรณ และประดิษฐ์ นุ่ม (กรมทรัพยากรธรณี, 2546) ได้ทำการศึกษาถ่วงดุลร้อยเดื่อน อุตุรคิตถ์ในบริเวณรอยต่อของจังหวัดอุตรดิตถ์ และจังหวัดพิษณุโลก พบร่องรอยที่ดังกล่าวประกอบด้วยรอยเดื่อนถึง 14 รอยเดื่อน คือ รอยเดื่อนพิชัย รอยเดื่อนค่านขุนโนน รอยเดื่อนปางหมื่น รอยเดื่อนโคงงานรอยเดื่อนบุนนาด รอยเดื่อนวังเบน รอยเดื่อนชี้ฟ้า รอยเดื่อนท่าหนอง รอยเดื่อนหนองบอน รอยเดื่อนหนองหลวง รอยเดื่อนท่าแกง รอยเดื่อนมะเกลือ รอยเดื่อนไฟล่อน และรอยเดื่อนน้ำมีด ซึ่งจัดเป็นรอยเดื่อนที่มีแนวโน้มการเคลื่อนตัวได้อีก (Potentially Active Fault) โดยรอยเดื่อนปางหมื่นเป็นรอยเดื่อนที่คาดว่ามีการขับเคลื่อนตัวครั้งหลังสุดในกลุ่มรอยเดื่อนอุตุรคิตถ์ จากหลักฐานทางธรณีสัมฐานที่ปรากฏชัดเจนที่สุด ในปัจจุบัน และสามารถประเมินขนาดแผ่นดินไหวที่เกิดมาแล้วในอดีต ได้ขนาด 5.9 ริกเตอร์

มุติหัต จันทะสดและคณะ, 2547 ศึกษาถึงคุณสมบัติเชิงพลศาสตร์ของอาคารคอนกรีตเสริมเหล็ก ในกรุงเทพมหานคร ผลการศึกษาแสดงข้อมูลพื้นฐานสำหรับคุณสมบัติเชิงพลศาสตร์ ผลการวิเคราะห์ทำให้เข้าใจพฤติกรรมของการตอบสนองภายใต้แรงแผ่นดินไหว การตรวจพบการเคลื่อนตัวที่ฐานของอาคาร เทียบกับ ชั้นบน โดยพบว่าค่ามีมากสำหรับอาคารเตี้ยหรือมีอัตราส่วนของสติฟเนสส์ของอาคารเทียบกับฐานรากสูง

อังคณาพร, 2535 ศึกษาผลการตอบสนองต่อแผ่นดินไหวของอาคารในภาคเหนือและภาคตะวันตกของประเทศไทย โดยใช้ข้อมูลแผ่นดินไหวที่เกิดขึ้นในประเทศไทยและโดยรอบ เพื่อหาค่าความเร่งสูงสุดที่ผิดดิบ スペคตัมการตอบสนองของความเร่งสำหรับการออกแบบ ค่าสัมประสิทธิ์ความเข้มของแผ่นดินไหว และค่าอัตราส่วนความหนาแน่นที่เหมาะสมสำหรับอาคารคอนกรีตเสริมเหล็ก

วัสดุอุปกรณ์และวิธีการ

1. น้ำหนักบรรทุก

ในขั้นตอนของการวิเคราะห์และออกแบบโครงสร้างต้องคำนึงถึงน้ำหนักบรรทุกหรือแรงที่โครงสร้างส่วนนั้นๆ ตลอดอายุการใช้งาน

1.1 น้ำหนักบรรทุกคงที่

เป็นน้ำหนักบรรทุกที่มีตำแหน่งของการกระทำคงที่ถาวรสลดเวลาได้แก่ น้ำหนักของตัวโครงสร้างเอง เช่น น้ำหนักของแผ่นพื้น ผนัง คาน เสา น้ำหนักของวัสดุหรืออุปกรณ์ต่างๆ ที่ติดตั้งอยู่กับที่อย่างถาวรน้ำหนักคงที่มีขนาดของกระทำอยู่ในแนวตั้งเสมอ

1.2 น้ำหนักบรรทุกจาร

เป็นน้ำหนักบรรทุกที่มีการเคลื่อนย้ายไปมาและอาจมีการเปลี่ยนขนาดของน้ำหนักน้ำหนักบรรทุกจะประกอบด้วยน้ำหนักบรรทุกที่กระทำในแนวตั้งจากแรงดึงดูดของโลกและน้ำหนักบรรทุกที่กระทำทางด้านข้างของโครงสร้าง โดยน้ำหนักบรรทุกที่กระทำในแนวตั้งซึ่งเกิดจากแรงดึงดูดของโลกแบ่งออกเป็น 2 แบบ คือ

1. น้ำหนักบรรทุกจารแบบเคลื่อนย้ายไปมาได้ หรือแบบไม่เคลื่อนที่ (Movable load) เช่น น้ำหนักของผู้ใช้อาคารน้ำหนักของเครื่องเดื่อน เครื่องจักร สิ่งของและสินค้าต่างๆ

ตารางที่ 1 น้ำหนักบรรทุกร้ามหัวรับโครงอาคารขึ้นบัญญัติของกรุงเทพมหานคร พ.ศ. 2522 (วินิต ช่อวิชีษ, 2528)

ประเภท	น้ำหนักบรรทุก	ประเภท	น้ำหนักบรรทุก
หลังคา	50 kg/m ²	ห้างสรรพสินค้า โรงแรม	400 kg/m ²
กันสาด	100 kg/m ²	กัตตาการ ที่จอดรถยนต์	400 kg/m ²
ที่พักอาศัย	150 kg/m ²	คลังสินค้า พิพิธภัณฑ์ อัฒจันทร์	400 kg/m ²
อาคารชุด ห้องน้ำ ลิฟฟ์	200 kg/m ²	โรงพิมพ์ ห้องเก็บเอกสาร	500 kg/m ²
สำนักงาน ธนาคาร	250 kg/m ²	ห้องเก็บหนังสือของห้องสมุด	600 kg/m ²
มหาวิทยาลัย โรงเรียน	300 kg/m ²	ที่จอดเก็บรถบรรทุกและรถอื่นๆ	800 kg/m ²

2. น้ำหนักบรรทุกรูปแบบเคลื่อนที่ได้ (Moving load) เช่น น้ำหนักของบวนรถไฟ รถยนต์ รถบรรทุก เป็นต้น

2. การวิเคราะห์โดยวิธีแรงสжิดเที่ยบท่า

การวิเคราะห์อุบัติเหตุโดยวิธีการพิจารณาผลของแรงแผ่นดินไหวที่มีต่อโครงสร้าง โดยการแปลงแรงแผ่นดินไหว ซึ่งเป็นรูปแบบพลศาสตร์มาเป็นรูปแบบสูตรเพื่อคำนวณตามแนวคิด (มาตรฐาน UBC Code 1997)

$$V = ZIKCSWd \quad (1)$$

เมื่อ V = Total base shear

Z = Seismic Zoning factor

I = Occupancy important factor (1.0-1.5)

K = Frame factor

S = Soil factor (1.0-1.5)

Wd = Total dead loads of structure

C = ค่าสัมประสิทธิ์ ซึ่งขึ้นกับความ

$$C = \frac{1}{15\sqrt{T}} \leq 0.12 \quad (2)$$

เมื่อ T = คาบของการแก่วงของอาคารหน่วยเป็นวินาที, $T = \frac{0.091 h}{\sqrt{D}}$ (3)

กรณีที่อาคารประกอบด้วย shear wall หรือ $T = 0.1 \text{ N}$ กรณีที่อาคารประกอบด้วยโครงข้อแข็ง เมื่อ

h = ความสูงของอาคาร

D = ความกว้างของอาคารในทิศเดียวกับแรงแผ่นดินไหว

N = จำนวนของชั้นอาคาร

2.2.1 การกระจายแรงสติติเที่ยบเท่า

การกระจายค่า Total base shear จะถูกกระจายเข้าสู่ตัวอาคารในแนวต้านทิศที่ระดับชั้นต่างๆ คล้ายกับกรณีของแรงลมในลักษณะการกระจายแบบเชิงเส้น (Linear Distribution)

$$\frac{F_x}{F_t} = \frac{(V - F_t)h_x W_x}{\sum_i h_i W_i} \quad (4)$$

เมื่อ h_x = ระดับความสูงของชั้น “x”

W_x = Dead loads และ Permanent live loads ของแต่ละชั้น

F_t = แรงกระทำเพิ่มที่ระดับชั้น สูงสุด เช่น $F_t = 0.1V$

F_t = 0 กรณี คานการแก่งว่ง (T) ของอาคารน้อยกว่า 0.7 วินาที

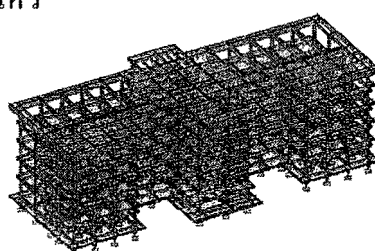
และ $F_t = 0.07TV$ กรณี $T > 0.7$ วินาที แต่ $F_t = 0.25V$

ตารางที่ 2 แรงแผ่นดินไหวที่เข้ากระทำในแต่ละชั้น

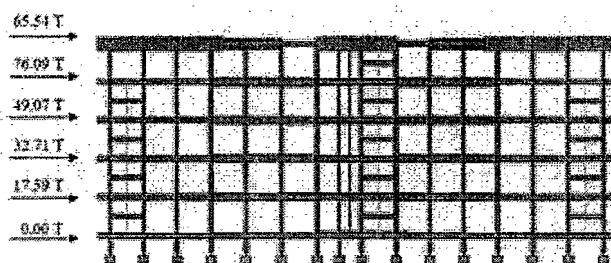
ชั้น	W_x (ton)	h (m)	F_x (ton)
หลังคา	555	17.5	65.54
5	806	14	76.09
4	693	10.5	49.07
3	693	7	32.71
2	745	3.5	17.59
1	792	0	0

3. แบบจำลองในการวิเคราะห์

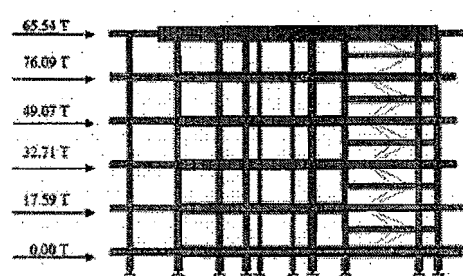
รวบรวมข้อมูลต่าง ๆ เพื่อวิเคราะห์โครงสร้างทึ้งหมด ซึ่งเป็นไปตามข้อกำหนดตามพระราชบัญญัติควบคุมคุณภาพอาคาร พ.ศ. 2522 และ วิศวกรรมสถานแห่งประเทศไทย(วสท.) โดยมีแนวทางการวิเคราะห์ โครงสร้างดังนี้ คือกรณีน้ำหนักบรรทุกคงที่รวมกับน้ำหนักบรรทุกจร และการน้ำหนักบรรทุกคงที่รวมกับน้ำหนักบรรทุกจรและแรงแผ่นดินไหว



รูปที่ 6 แบบจำลองโครงสร้างสำหรับการวิเคราะห์



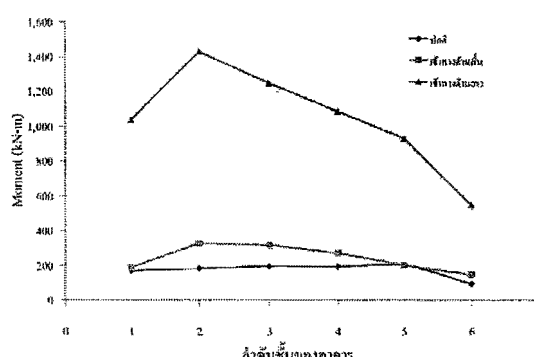
รูปที่ 7 แรงกระทำทางด้านสัมของโครงสร้าง



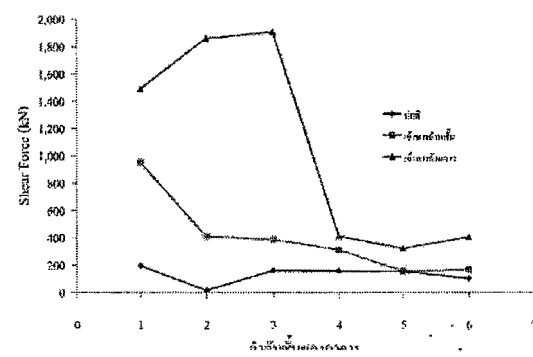
รูปที่ 8 แรงกระทำทางด้านยาวของโครงสร้าง

ผลการศึกษา

ผลการวิเคราะห์พบว่ากรณีโครงสร้างรับน้ำหนักบรรทุกปกติ ค่าแรงดัดเกิดขึ้นสูงสุดเท่ากับ 202 kN·m เมื่อจำลองให้แรงแผ่นดินไหวเข้ามากระทำทางด้านสัมของโครงสร้างค่าแรงดัดที่เกิดขึ้นมากกว่ากรณีแรกถึง 126 kN/m หรือคิดเป็นร้อยละ 62 และกรณีแรงกระทำที่ด้านยาวของโครงสร้างค่าแรงดัดที่เกิดขึ้นมากกว่ากรณีแรกถึง 1,227 kN/m หรือคิดเป็นร้อยละ 608



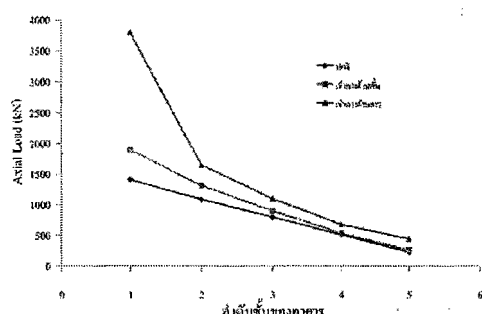
รูปที่ 9 แรงดัดสูงสุดที่เกิดขึ้นในคาน



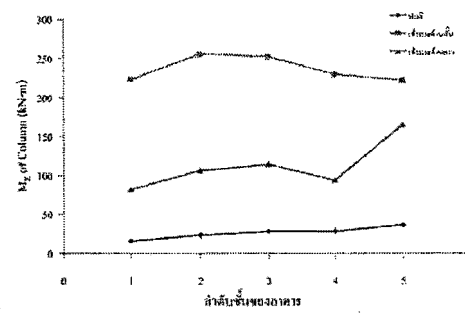
รูปที่ 10 แรงเฉือนสูงสุดที่เกิดขึ้นในคาน

ค่าแรงเฉือนที่เกิดขึ้นในคานกรณีโครงสร้างรับน้ำหนักบรรทุกปกติ ค่าแรงเฉือนเกิดขึ้นสูงสุดเท่ากับ 195 kN เมื่อจำลองให้แรงแผ่นดินไหวเข้ามากระทำทางด้านสัมของโครงสร้างค่าแรงเฉือนที่เกิดขึ้นมากกว่ากรณีแรกถึง 756 kN หรือคิดเป็นร้อยละ 387 และกรณีแรงกระทำที่ด้านยาวของโครงสร้างค่าแรงเฉือนที่เกิดขึ้นมากกว่ากรณีแรกถึง 1715 kN หรือคิดเป็นร้อยละ 878

ผลการวิเคราะห์กรณีโครงสร้างรับน้ำหนักบรรทุกปกติ แรงตามแนวแกนเกิดขึ้นสูงสุดเท่ากับ 1,410 kN เมื่อจำลองลักษณะแรงแผ่นดินไหวกระทำจากด้านสัมและด้านยาวพบว่า แรงกระทำตามแนวแกนมีค่ามากกว่ากรณีแรกถึง 490 kN หรือคิดเป็น 35% และ 2,390 kN หรือคิดเป็น 170% ตามลำดับ



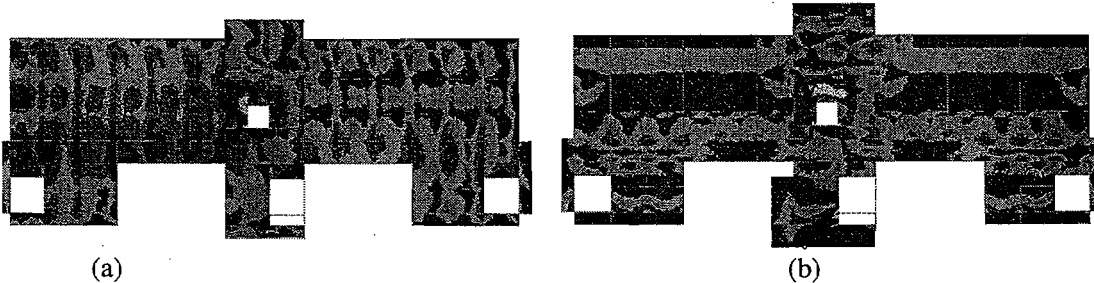
รูปที่ 11 แรงตามแนวแกนสูงสุดที่เกิดขึ้นในเสา



รูปที่ 12 ค่าแรงดัดสูงสุดที่เกิดขึ้นในเสา

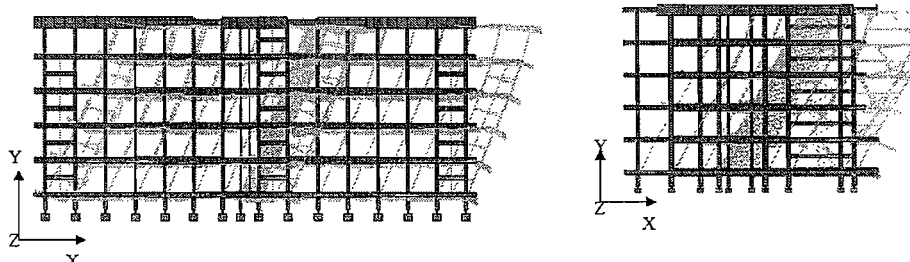
ค่าแรงดันที่เกิดขึ้นในเสากรณีโครงสร้างรับน้ำหนักปกติ ค่าแรงดันเกิดขึ้นสูงสุดเท่ากับ 37 kN-m เมื่อจำลองลักษณะแรงแผ่นดินไหวกระทำจากด้านสั้นและด้านยาวพบว่า แรงดันมีค่ามากกว่ากรณีแรกถึง 220 kN-m หรือคิดเป็นร้อยละ 597 และถึง 129 kN-m หรือคิดเป็นร้อยละ 350

ผลการวิเคราะห์กรณีโครงสร้างรับน้ำหนักบรรทุกปกติหน่วยแรงที่เกิดขึ้นในแผ่นพื้นสูงสุดเท่ากับ 10 Mpa เมื่อจำลองลักษณะแรงแผ่นดินไหวกระทำจากด้านสั้นและด้านยาวพบว่า หน่วยแรงในแผ่นพื้นมีค่ามากกว่ากรณีแรกถึง 8 Mpa หรือคิดเป็นร้อยละ 80 และ 25 Mpa หรือคิดเป็นร้อยละ 266



รูปที่ 13 หน่วยแรงที่เกิดขึ้นในแผ่นพื้น (a) แรงกระทำทางด้านสั้น (b) แรงกระทำทางด้านยาว

ผลการศึกษาเพิ่มเติมการเคลื่อนตัวของโครงสร้าง พบว่าโครงสร้างจะมีการเคลื่อนตัวไปในทิศทางเดียวกับแรงแผ่นดินไหว ที่มากระทำในแนวราบ(F_x) โดยลักษณะการเคลื่อนตัวของโครงสร้างกรณีน้ำหนักบรรทุกปกติพบว่า การเคลื่อนตัวทางด้านข้างและแนวดิ่งเกิดขึ้นสูงสุดเท่ากับ 0.5mm และ 0.45mm ตามลำดับเมื่อจำลองลักษณะแรงแผ่นดินไหวกระทำจากด้านสั้นและด้านยาวพบว่า การเคลื่อนตัวทางด้านข้างและแนวดิ่งเกิดขึ้นสูงสุดเท่ากับ 80 mm , 6 mm และ $184\text{ mm}, 19\text{ mm}$



รูปที่ 14 การเคลื่อนตัวของโครงสร้าง (a) แรงกระทำทางด้านสั้น (b) แรงกระทำทางด้านยาว

อภิปรายผล

พฤติกรรมของคน, เสาและพื้น กรณีแรงแผ่นดินไหวกระทำทางด้านยาวของโครงสร้างจะมีค่าการเปลี่ยนแปลงแรงภายในสูงกว่ากรณีโครงสร้างรับน้ำหนักบรรทุกปกติและกรณีแรงแผ่นดินไหวกระทำทางด้านสั้นของโครงสร้างโดยหน่วยแรงที่เกิดขึ้นสูงสุดส่วนใหญ่จะเกิดขึ้นที่ชั้น 1-3 ซึ่งเป็นผลมาจากการรองรับของอาคารเป็นแบบยึดแน่น(Fixed Support) ทำให้โครงสร้างที่ฐานไม่สามารถเคลื่อนตัวไปในทิศทางของแรงกระทำได้ ส่งผลให้เกิดการส่งถ่ายแรงกระทำเข้าที่โครงสร้างส่วนนี้มากกว่าปกติ

สรุปผลการศึกษา

1. พฤติกรรมของคาน

ผลของไม้เมนต์ดัดที่เกิดขึ้นสูงสุด กรณีที่ไม่มีแรงแผ่นดิน ให้มากระทำ และกรณีที่มีแรงแผ่นดิน ให้เข้ามากระทำทางค้านสันและยาวของโครงสร้าง แรงดัดเกิดขึ้นสูงสุดที่ชั้น 5 และชั้น 2 โดยมีค่าแรงดัดที่เกิดขึ้นสูงสุดเท่ากับ 202 kN/m 328 kN/m และ $1,429 \text{ kN/m}$ ตามลำดับ โดยแรงเฉือนที่เกิดขึ้นสูงสุด กรณีที่ไม่มีแรงแผ่นดิน ให้เข้ามากระทำ และกรณีที่มีแรงแผ่นดิน ให้เข้ามากระทำทางค้านสันของโครงสร้างค่าแรงเฉือนเกิดขึ้นสูงสุดมีค่าแรงเฉือนเกิดขึ้นสูงสุดคือ 195 kN 952 kN และ $1,910 \text{ kN}$ ตามลำดับ

2. พฤติกรรมของเสา

ผลของแรงตามแนวแกนที่เกิดขึ้นสูงสุดในแต่ละกรณีจะเกิดขึ้นที่ชั้น 1 โดยกรณีที่ไม่มีแรงแผ่นดิน ให้เข้ามากระทำ กรณีมีแรงแผ่นดิน ให้เข้ามากระทำทางค้านสันและทางด้านยาวของโครงสร้าง ค่าของแรงตามแนวแกนมีค่าเท่ากับ $1,410 \text{ kN}$ $1,900 \text{ kN}$ และ $3,800 \text{ kN}$ ตามลำดับ โดยค่าแรงดัดที่เกิดขึ้นในเสาสำหรับที่สั่น สามกรณีข้างต้นประกอบด้วย 37 kN/m 166 kN/m และ 256 kN/m ตามลำดับ

3. พฤติกรรมของแผ่นพื้น

กรณีที่ไม่มีแรงแผ่นดิน ให้เข้ามากระทำค่าของหน่วยแรงเกิดขึ้นสูงสุดจะอยู่ที่ชั้น 1 กรณีที่มีแรงแผ่นดิน ให้เข้ามากระทำทางค้านสันของโครงสร้างหน่วยแรงเกิดขึ้นสูงสุดจะอยู่ที่ชั้น 5 และกรณีที่มีแรงแผ่นดิน ให้เข้ามากระทำทางด้านยาวของโครงสร้างหน่วยแรงเกิดขึ้นสูงสุดจะอยู่ที่ชั้น 2 โดยมีค่าของหน่วยแรงที่เกิดขึ้นสูงสุดเท่ากับ 10 Mpa 8 Mpa และ 25 Mpa ตามลำดับ

4. พฤติกรรมการเคลื่อนตัวของโครงสร้าง

โครงสร้างจะมีการเคลื่อนตัวไปในทิศทางเดียวกับแรงแผ่นดิน ให้ กรณีโครงสร้างที่ไม่มีแรงแผ่นดิน ให้มากระทำ โครงสร้างจะเคลื่อนตัวในแนวตั้ง 0.45 mm . กรณีที่มีแรงแผ่นดิน ให้เข้ามากระทำทางค้านสันของโครงสร้างจะมีการเคลื่อนตัวไปด้านข้าง 80 mm . กรณีที่มีแรงแผ่นดิน ให้เข้ามากระทำทางด้านยาวของโครงสร้างจะมีการเคลื่อนตัวไปด้านหน้า 184 mm

พฤติกรรมของคาน, เสาและพื้น กรณีแรงแผ่นดิน ให้กระทำทางค้านยาวของโครงสร้างจะมีค่าการเปลี่ยนแปลงแรงภายในสูงกว่ากรณีโครงสร้างรับน้ำหนักบรรทุกปกติ และกรณีแรงแผ่นดิน ให้กระทำทางค้านสันของโครงสร้าง โดยหน่วยแรงที่เกิดขึ้นสูงสุดส่วนใหญ่จะเกิดขึ้นที่ชั้น 1-3 ซึ่งอาจเป็นผลมาจากการรองรับของอาคารเป็นแบบยึดแน่น (Fixed Support) ทำให้โครงสร้างที่ฐานไม่สามารถเคลื่อนตัวไปในทิศทางของแรงกระทำได้ ส่งผลให้เกิดการสั่นถ่ายแรงกระทำเข้าที่โครงสร้างส่วนนี้มากกว่าปกติ

กิตติกรรมประกาศ

งานวิจัยนี้สำเร็จลงได้ด้วยความร่วมมือและความช่วยเหลือ จาก Bentley Systems ที่ให้ความอนุเคราะห์โปรแกรมสำเร็จรูปเพื่อการวิเคราะห์ (Staad Pro ทดลองใช้เวอร์ชันเต็ม 30 วัน)

เอกสารอ้างอิง

- [1] กฎกระทรวงฉบับที่ 49 (พ.ศ 2540), ออกตามความในพระราชบัญญัติควบคุมอาคาร พ.ศ.2522,
กระทรวงมหาดไทย
- [2] กรุง ขั้งคนาพร (2535), ผลการตอบสนองต่อแผ่นดินไหวของอาคาร ในภาคเหนือและภาคตะวันตกของ
ประเทศไทย. สืบค้นเมื่อ 15 มกราคม 2551, www.stkc.go.th/library.php, [On-line]
- [3] วนิด ช่อวิเชียร(2528), “ทฤษฎีโครงสร้าง” พิมพ์ครั้งที่ 4. กรุงเทพฯ: ป.สัมพันธ์พาลิชย์, 2528
- [4] สมศักดิ์ เลิศบรรณพงศ์(1998), “กฎกระทรวงว่าด้วยการออกแบบอาคารเพื่อต้านแรงจากแผ่นดินไหว”.
International Seminar on Earth Resistant of Structure, October 5-7 1998, Chiang Mai, Thailand
- [5] สมพร อรรถเศรษฐ์, การวิเคราะห์โครงสร้าง. พิมพ์ครั้งที่ 2. กรุงเทพฯ: ชัมรน Microfeap, 2546
- [6] สัมพันธ์ สิงหาราชราพันธ์(2547), เอกสารประกอบการบรรยายหลักสูตร “การออกแบบอาคารต้านทาน
แรงแผ่นดินไหว”, มหาวิทยาลัยเชียงใหม่